

## سترن نانومیله‌های تک کریستال اکسید روی به روش هیدروترمال

نادی شجاعی<sup>\*</sup> و علیرضا آقایی

پژوهشگاه مواد و انرژی

تاریخ ثبت اولیه: ۱۳۸۷/۴/۱۶، تاریخ دریافت نسخه اصلاح شده: ۱۳۸۷/۱۰/۴، تاریخ پذیرش قطعی: ۱۳۸۸/۳/۵

**چکیده** در این مقاله، رشد نانومیله‌های جهت دار اکسید بروی زیرلایه شیشه سودالایم در شرایط هیدروترمال انجام گرفت. با این روش، رشد نانوذرات اکسید روی بدون استفاده از تمپلیت و سورفکتانت در دمای کمتر از ۱۰۰°C، در مقیاس زیاد و با هزینه بسیار اندک ممکن است. نمونه‌ها با آنالیز تفرق اشعه ایکس (XRD) و میکروسکوپ الکترونی رویشی (SEM) بررسی شدند. نتایج نشان می‌دهد که نانومیله‌های تک کریستال، با جهت گیری [۰۰۲] و ساختار هگزاگونال وورتیزیت می‌باشند. همچنین اثر غلاظت واکنشگرها و زمان ماندگاری بروی مورفولوژی و خواص اکسید روی به دست آمده بررسی شد.

**کلمات کلیدی** هیدروترمال، نانومیله، اکسید روی.

## Synthesis of Single-Crystalline Zinc Oxide Nanorods via Hydrothermal Processing

N. Shojaee<sup>\*</sup> and A. Aghaei

Materials and Energy Research Center

**Abstract** The orientation control of ZnO nanocrystallites and the ability of assembling them in three dimensional arrays are essential for creating functional materials, such as solar cells, photonic devices, etc. In this article, the hydrothermal growth of large surface area, high quality, ZnO nanorods on glass substrate is reported. This route permits large scale fabrication of ZnO nanorods with a relatively low cost and potentially applicable in optoelectronic nano devices. The orientation of ZnO rods and wires can be controlled by controlling the temperature, pH of the reacting systems and the concentration of reactants. The products prepared under different conditions of the reacting precursors confirmed that the resulted nanorods are single crystals of hexagonal wurtzite structure and highly oriented along [002] direction in their structure.

**Keywords** Hydrothermal, Nanorod, zinc Oxidde.

\* عهده‌دار مکاتبات

نشانی: کرج، مشکین دشت، پژوهشگاه مواد و انرژی.

تلفن: ۰۲۶۱\_۲۷۰\_۱۸۴۱، دورنگار: ۰۲۶۱\_۶۲۰\_۱۸۱۸، پیام‌نگار: n\_shojaee@merc.ac.ir

## ۱\_ مقدمه

مزیت این روش‌ها دمای کم و تجهیزات ساده است که برای تولید نانومیله‌های ZnO در مقیاس صنعتی مناسب‌ترند؛ ولی در مقالات فوق تنها زیرلایه‌های کریستالی برای سنتز نانومیله‌ها استفاده شده است. لذا این پژوهش برای کاربردهای نوری، نانومیله‌های تک کریستال ZnO به صورت هیدروترمال برروی زیرلایه شیشه رشد داده شدند و تأثیر متغیرهای غلاظت و زمان برروی مورفولوژی و نانوساختار ZnO بررسی شده است.

## ۲\_ نحوه انجام آزمایش

در این مقاله، از نیترات روی  $[Zn(NO_3)_2 \cdot 6H_2O]$ ، و هگزامتیلن تترامین  $(HMT, C_6H_{12}N_4)$  محصول MERK به منزله مواد اولیه استفاده شد. همچنین از شیشه‌های سودالایم برای زیرلایه استفاده شد که قبل از آزمایش ۱۰ دقیقه در اتانول، استون و آب مقطمر در حمام ماورای صوت تمیز شدند. محلول اولیه با انحلال نیترات روی و هگزامتیلن تترآمین با نسبت مولی ۱:۱ در آب مقطمر به دست آمد. برای بررسی اثر غلاظت برروی مورفولوژی و ساختار، نمونه‌هایی با غلاظت‌های یون  $Zn^{+2}$  ۰/۱، ۰/۰۱ و ۰/۰۰۱ مولار تهیه شد. سپس در یک محفظه تغلفونی، زیرلایه‌ها در محلول تهیه شده قرار گرفتند و نحوه رشد در دمای  $95^{\circ}C$  و در زمان‌های مختلف بررسی شد. در پایان فرایند زیرلایه‌های لایه‌نشانی شده با آب مقطمر شسته و خشک شدند.

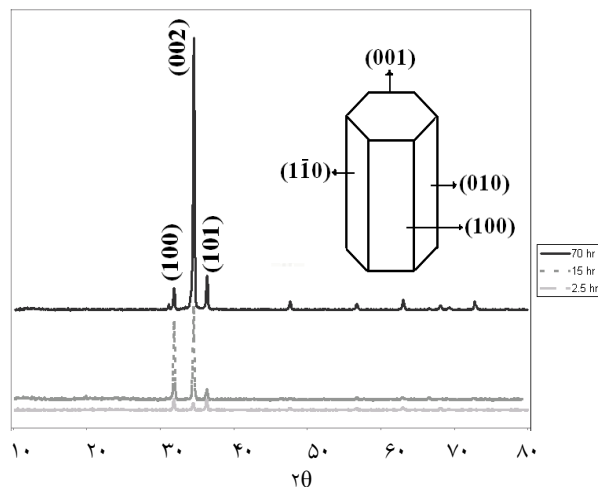
برای بررسی فازی از دستگاه پراش پرتو X مدل PHILIPS-PW3710 مجهر به لامپ Cu که تابش  $K\alpha_1$  آن در طول موج  $1/54$  آنگستروم است استفاده شد. بررسی‌های مورفولوژیکی نانوساختار حاصل با میکروسکوپ الکترونی رویشی (SEM) مدل Leica/Cambridge-Stereo Scan360 انجام شد.

اکسید روی (ZnO)، در نقش یک نیمه‌هادی با باند ممنوعه وسیع  $3.37eV$  و انرژی پیوند اکسایتونی  $60meV$ ، در صنایع الکترونیک و فوتونیک بسیار مورد توجه محققان قرار گرفته است [۱]. این خواص موجب کاربردهای بسیار گستردۀ‌ای است؛ مانند موج آکوستیک سطحی [۲]، کریستال‌های فوتونیک [۳]، دیودهای گسیل نور [۴]، فوتودیکتورها [۵]، فوتودیودها [۶]، وریستورها [۷]، حسگرهای گازی [۸] و پیل‌های خورشیدی [۹]. در سال‌های اخیر تلاش زیادی برای کنترل اندازه و شکل نانوکریستال‌های اکسید روی به علت اثر تعیین‌کننده آنها در خواص اپتیکی و الکتریکی انجام شده است [۱۰].

به تازگی گزارش‌هایی از نانومیله‌های جهت‌دار ZnO در لیزر منتشر شده است که اهمیت طراحی نانومواد تک بعدی ZnO را به صورت کاملاً جهت‌دار نشان می‌دهد [۱۱]. روش‌های مختلف شیمیایی، الکتروشیمیایی و رسوب فیزیکی برای ZnO دستیابی به ساختار جهت‌دار نانومیله‌ها و نانوسیم‌های گزارش شده است. ابعاد بدست آمده در این ساختارها میانگین قطر  $20-200nm$  و طول چند میکرومتر تا  $10\mu m$  با نسبت جانبی  $500-50$  دارند. این روش‌ها عبارت‌اند از: سنتز با کمک تمپلیت [۱۲، ۱۳]، رشد اپتیکسی ترکیبات مثال ارگانیک از فاز کاز (VLS) (MOCVD) [۱۴]، مکانیزم رشد بخار-مایع-جامد (VLS) [۱۵]، رسوب نشانی با لیزر پالسی [۱۶]، رسوب نشانی شیمیایی مثالو ارگانیک از فاز بخار (MOCVD) [۱۷] می‌باشند. این فرایندها معمولاً به تجهیزات خلاً و استفاده از کاتالیست در دمای بالا نیاز دارند. از این‌رو علاوه‌بر صرف هزینه زیاد، قدرت انتخاب زیرلایه نیز محدود است.

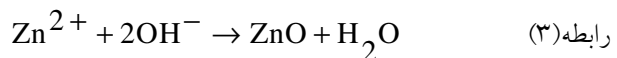
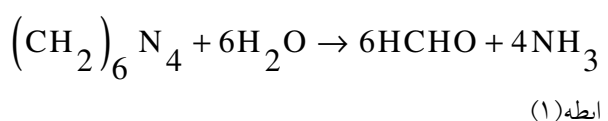
به تازگی روش‌های شیمیایی برای تهیه نانومیله‌های جهت‌دار ZnO برروی زیرلایه‌های پلی کریستالین یا تک کریستالی از محلول‌های آبی گزارش شده است [۱۸-۲۳].

### ۳- نتایج و بحث



شکل ۱. طرح تفرق اشعه ایکس نانومیله های اکسید روی با غلظت اولیه ۰/۱ مولار در دمای ۹۵°C با مدت زمان ماندگاری متفاوت.

در این آزمایش از نیترات روی در نقش منبع روی و از هگرامتیلن تترامین (متن آمین) برای تأمین یون های هیدروکسی (OH<sup>-</sup>) استفاده شده است. به محض افروختن متن آمین، رسوبی ایجاد نمی شود؛ بلکه با افزایش دما متن آمین به تدریج تجزیه می شود و آمونیاک موردنیاز برای افزایش pH و هیدرولیز به آهستگی تأمین می شود [۲۴]. با افزایش pH محلول، هیدرولیز یون های روی رخ می دهد که در شرایط هیدروترمال، به تشکیل جوانه های ZnO برروی بستر منجر خواهد شد. واکنش های انجام شده در محلول را می توان به صورت زیر نشان داد [۲۵]:



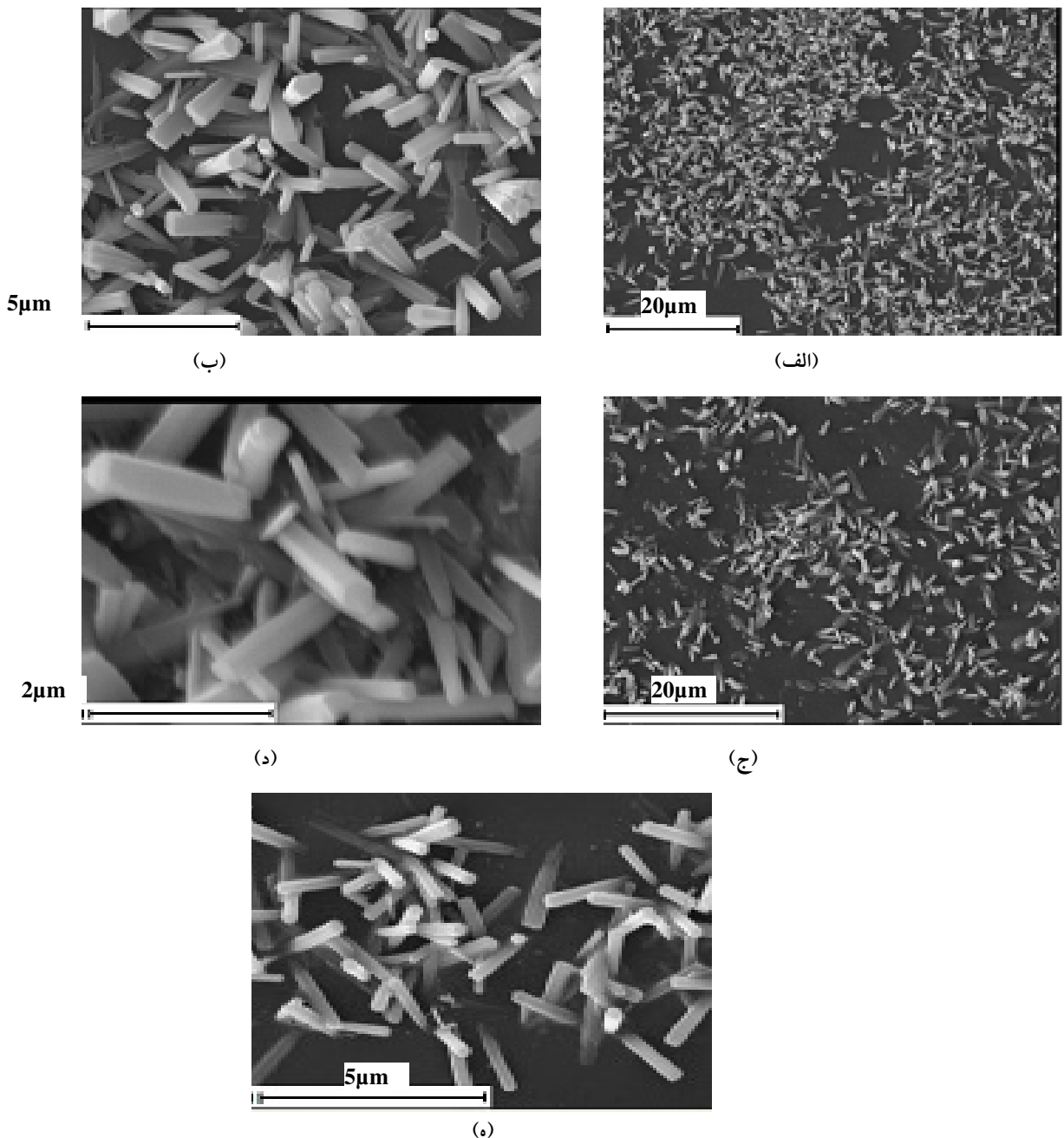
نبود فازهای ناخالصی در رسوبات است. با افزایش زمان رشد در حین سنتز، جهت گیری درجهت (۰۰۲) کاملاً غالب می شود که نشان دهنده رشد ناهمسانگرد بیشتر نانومیله ها به صورت عمود بر سطح بستر است. اکسید روی در نقش یک کریستال قطبی، سطوحی با بار مثبت و منفی دارد. انرژی تورق سطح {۰۰۰۲}، ۶۰٪ بیشتر از سطوح غیرقطبی {۱۰۰} و {۱۱۰} است. همچنین اکسید روی یک گشتاور دوقطبی در جهت <۰۰۱> دارد. این خواص موجب می شود که معمولاً محور C سریع ترین جهت رشد باشد و سطح {۰۰۱} اکسید روی بیشترین انرژی سطحی با اندیس کم را داشته باشد و ZnO سادگی در طول این جهت رشد کند [۲۶، ۲۷]. همچنین با توجه به نتایج پراش پرتو ایکس، به نظر می رسد در مراحل اولیه رسوب دهی هیدروترمال، رشد درجهت شعاعی انجام شود. به بیان دیگر نانومیله های اکسید روی با نسبت جانبی کم در این مرحله تشکیل می شوند. پس از مرحله اولیه، نرخ رشد شعاعی به شدت، کاهش و نرخ رشد محوری افزایش می یابد که به

غلظت کم OH<sup>-</sup> یک عامل کلیدی در رشد ردیف های نانومیله اکسید روی است. نرخ هیدرولیز HMT یکنواخت است؛ بنابراین غلظت OH<sup>-</sup> محلول در حد کم و پایدار نگه داشته شده و اکسید روی جوانه می زند [۲۵].

تأثیر غلظت محلول و زمان رشد روی کریستالینیته نمونه ها با پراش پرتو ایکس (XRD) بررسی شد (شکل ۱). نتایج نشان می دهد که نانومیله های رشد یافته از محلول آبی به ساختار وورتربیت (گروه فضایی P6<sub>3</sub>mc، JCPDS No. 36-1451) با ثوابت شبکه a=۰/۳۲۴۹۸ nm و c=۰/۵۲۰۶۶ nm متعلق دارند. به جز سه پیک متعلق به صفحات (۰۰۲)، (۱۰۰) و (۱۰۱) که به ترتیب در ۲θ برابر با: ۳۱/۸۳، ۳۶/۳۷ و ۳۴/۵۷ حضور یافته اند، پیک دیگری مشاهده نمی شود که نشان دهنده

مختلف به مدت ۱۵ ساعت بر روی زیر لایه شیشه به دست آمده‌اند، در شکل ۲ آمده است که بیانگر رشد نانومیله‌های ZnO از محلول آئی با روش هیدروترمال است. وجوه شش ضلعی

میله‌های طویلی با نسبت جانبی زیاد منجر می‌شود. این مطلب و همکارانش [۲۸] نیز تأیید کرده‌اند. Min Guo تصاویر SEM نانومیله‌های ZnO که در غلظت‌های



شکل ۲. تصویر SEM نانومیله‌های اکسید روی با غلظت مواد اولیه ۰/۱ در بزرگنمایی الف. ۷۰۰۰ برابر و غلظت ۰/۰۱ در بزرگنمایی ب. ۱۵۰۰ برابر، ج. ۲۰۰۰۰ برابر، د. ۲۰۰۰۰۰ برابر و ۰/۰۰۱ مولار در بزرگنمایی ۸۵۰۰ برابر.

هیدرولیز محلول حاوی یون های روی در شرایط هیدرоторمال امکان رشد تک بعدی بلورهای ZnO را فراهم می کند. آسانی این فرایند از مزایای آن محسوب می شود. نتایج بررسی های فازی و ریزساختاری مؤید این امر است ولیکن شرایط بهینه رشد برای کاهش قطر نانومیله ها در روش هیدرоторمال باید بیشتر بررسی شود.

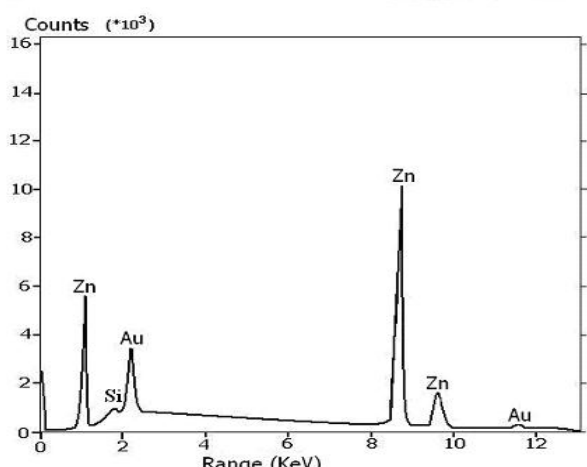
## مراجع

- Pearson, S.J., Norton, D.P., Ip, K., Heo, Y.W. and Steiner, T., "Recent Progress In Processing and Properties of Zno", *Progress in Materials Science*, Vol. 50 Issue 3 (2005) 293-340.
- Emanetoglu, N.W., Gorla, C., Liu, Y., Liang, S. and Lu, Y., "Epitaxial Zno Piezoelectric Thin Films for Saw Filters", *Materials Science in Semiconductor Processing*, Vol. 2 Issue 3 (1999) 247-252.
- Chen, Y., Bagnall, D. and Yao, T., "Zno as A Novel Photonic Material for the UV Region", *Materials Science and Engineering B.*, Vol. 75 Issues 2-3 (2000) 190-198.
- Saito, N., Haneda, H., Sekiguchi, T., Ohashi, N., Sakaguchi, I. and Koumoto, K., "Low-Temperature Fabrication of Light-Emitting Zinc Oxide Micropatterns Using Self-Assembled Monolayers", *Advanced Materials*, Vol. 14 Issue 6 (2002) 418-421.
- Liang, S., Sheng, H., Liu, Y., Hio, Z., Lu, Y. And Shen, H., "Zno Schottky Ultraviolet Photodetectors", *J. Cryst. Growth*, Vol. 225 Issues 2-4 (2001) 110-113.
- Lee, J.Y., Choi, Y.S., Kim, J.H., Park, M.O. and S., Im, "Optimizing N-Zno/P-Si Heterojunctions for Photodiode Applications", *Thin Solid Films*, Vol. 403-404 (2002) 533-557.
- Han, J.H. and Kim, D.Y., "Fabrication of Dense Zno-Varistors by Atmosphere Sintering", *J. of the European Ceramic Society*, Vol. 18 Issue 7 (1998) 765-770.
- Golego, N., Studenikin, S.A. and Cocivera, M., "Sensor Photoresponse of Thin-Film Oxides of Zinc and Titanium to Oxygen Gas", *J. Electrochem. Soc.*, Vol. 147 Issue 4 (2000) 1592-1594.
- Keis, K., Magnusson, E., Lindstrom, H., Lindquist, S.E. and Hagfeldt, A., "A 5% Efficient Photo Electrochemical Solar Cell Based On Nanostructure Zno Electrodes", *Sol. Energy Mater. Sol. Cells*, Vol.73 (2002) 51-58.
- Qu, F., Santos D.R., Dantas, N.O., Monte, A.F.G. and Moraes, P.C., "Effects Of Nanocrystal Shape On The Physical Properties Of Colloidal Zno Quantum Dots", *Physica E.*, Vol.23 (2003) 410-415.

نانومیله ها در تصاویر با بزرگنمایی بالا مشاهده می شود. نمونه های رشدیافته در بیشترین غلظت محلول (۱٪ مولار) تراکم و یکنواختی بیشتری نسبت به سایر نمونه ها نشان می دهند؛ ولی با افزایش غلظت اولیه محلول، میانگین قطر میله های به دست آمده نیز افزایش می یابد. به طوری که میانگین قطر نانومیله هایی که به مدت ۱۵ ساعت در غلظت های اولیه ۰.۱٪ - ۰.۰۱٪ و ۰.۰۰۱٪ بوده اند؛ به ترتیب برابر با ۴۰۰، ۲۷۸ و ۱۰۰ نانومتر است. با کاهش غلظت محلول تا حد ۰.۰۰۱٪ علاوه بر پراکندگی و عدم یکنواختی نمونه ها، مشکل جوانه زایی نیز بروز می کند و رسیدن به شرایط مطلوب نیاز به بررسی بیشتری دارد.

در شکل ۳ نتیجه آنالیز EDX نانومیله ها نشان داده شده است. مطابق شکل ساختار به دست آمده خالص است و هیچگونه ناخالصی در آن وجود ندارد. حضور پیک طلا و سیلیسیم بترتیب به علت آماده سازی نمونه ها و زیرلایه شیشه ای است.

## ۴- نتیجه گیری



شکل ۳. آنالیز EDX ردیف های منظم نانومیله اکسید روی.

20. Zhang, J., Sun, L.D., Pan, H.Y., Liao, C.S. and Yan, C.H., "ZnO nanowires fabricated by a convenient route", *New J. Chem.*, Vol.26 (2002) 33-34.
21. Vayssières, L., "Growth of Arrayed Nanorods and Nanowires of ZnO from Aqueous Solutions", *Adv. Mater.*, Vol.15 (2003) 464-466.
22. Vayssières, L., Keis, K., Lindquist, S.E. and Hagfeldt, A., "Purpose-built anisotropic metal oxide material: 3D highly oriented microrod-array of ZnO", *J. Phys. Chem. B*, Vol.105 (2001) 3350-3352.
23. Vayssières, L., Keis, K., Hagfeldt, A. and Lindquist, S.E. "Three-dimensional array of highly oriented crystalline ZnO Microtubes", *Chem. Mater.*, Vol.13 (12) (2001) 4395-4398Qu, F., Santos D.R., Dantas, N.O., Monte, A.F.G., Morais, P.C., *Physica E*. 23 (2003) 410.
24. Yang, J. , Lang, J., Yang, L., Zhang, Y., Wang, D. , Fan, H., Liu, H., Wang, Y. and Gao, M. "Low-temperature growth and optical properties of ZnO nanorods", *J. of Alloys and Comp.*, Vol.450 (2008) 521-524.
25. Chen, Z. and Gao, L., "A facile route to ZnO nanorod arrays using wet chemical method", *J. of cryst. growth*, Vol.293 (2006) 522-527.
26. Wander, A., Schedin, F., Steadman, P., Norris, A., McGrath, R., Turner, T.S., Thornton, G. and Harrison, N.M., "Stability of polar oxide surfaces", *Phys. Rev. Lett.* Vol.86 (2001) 3811-3814.
27. Meyer, B. and Marx, D. "Density-functional study of the structure and stability of ZnO surfaces", *Phys. Rev. B*, Vol.67 (2003) 035403-035414.
28. Guo, M., Diao, P. and Cai, S., "Hydrothermal growth of well-aligned ZnO nanorod arrays: Dependence of morphology and alignment ordering upon preparing conditions", *Journal of Solid State Chemistry*, Vol.178 (2005) 1864-1873.
11. Huang, M., Mao, S., Feick, H., Yan, H., Wu, Y., Kind, H., Weber, E., Russo, R., Yang, P., "Room-Temperature Ultraviolet Nanowire Nanolasers", *Science*, Vol. 292 (2001) 1897-1899.
12. Li, Y., Meng, G.W., Zhang, L.D. and Philipp, F., "Ordered semiconductor ZnO nanowire arrays and their photoluminescence properties", *Appl. Phys. Lett.*, Vol.76 (2000) 2011-2013.
13. Wang, Y.C., Leu, I.C. and Hon, M.H., "Preparation of Nanosized ZnO Arrays by Electrophoretic Deposition", *J. Mater. Chem.*, Vol.12 (2002) 2439-2444.
14. Park, W.I., Kim, D.H., Jung, S.W. and Yia, G.C., "Metalorganic vapor-phase epitaxial growth of vertically well-aligned ZnO nanorods", *Appl. Phys. Lett.*, Vol.80 (2002) 4232-4233.
15. Huang, M., Wu, Y., Feick, H., Tran, N., Weber, E. and Yang, P., "Catalytic growth of zinc oxide nanowires by vapor transport", *Adv. Mater.*, Vol.13 (2001) 113-116.
16. Choi, J.H., Tabata, H. and Kawai, T. "Initial preferred growth in zinc oxide thin films on Si and amorphous substrates by a pulsed laser deposition", *J. Cryst. Growth*, Vol.226 (2001) 493-500.
17. Kim, S.W., Kotani, T., Ueda, M., Fujita, S. and Fujita, S. "Selective formation of ZnO nanodots on nanopatterned substrates by metalorganic chemical vapor deposition", *Appl. Phys. Lett.*, Vol.83 (2003) 3593-3595.
18. Guo, L., Cheng, J.X., Li, X.Y., Yan, Y.J., Yang, S.H., Yang, C.L., Wang, J.N. and Ge, W.K., Biomimetic Supramol. Syst., *Mater. Sci. Eng.C*, Vol.16 (2001) 123-127.
19. Guo, L., Yang, S.H., Yang, C.L., Wang, J.N. and Ge, W.K., "Synthesis and Characterization of Poly(vinylpyrrolidone)-Modified Zinc Oxide Nanoparticles", *Chem. Mater.*, Vol.12 (2000) 2268-2274.